

УДК 533.6.011.55:533.6.011.72

## ИЗЛУЧЕНИЕ УДАРНОГО СЛОЯ ПРИ ГИПЕРЗВУКОВОМ ОБТЕКАНИИ СФЕРИЧЕСКОГО СЕГМЕНТА ВОЗДУХОМ

Е. Г. ШАПИРО

(Москва)

Решена задача об обтекании сферического сегмента излучающим воздухом. Проведено сравнение полученных результатов с исследованиями обтекания сферы излучающим газом и обтекания сферического сегмента без учета излучения. Рассмотрено влияние излучения в окрестности точки скругления на течение в ударном слое и показано, что оно не оказывает существенного влияния на поля газодинамических параметров, поскольку последние из-за явления радиационного замораживания определяются процессами, происходящими вблизи оси симметрии.

Эта работа представляет собой продолжение исследований [1, 2], в которых рассматривалось течение воздуха за фронтом сильной ударной волны с учетом излучения. В работе [2] было показано, что среди физических факторов, определяющих течение газа в ударном слое при полете на высотах  $60 \leq h \leq 80$  км и скоростях полета  $10 \leq V_\infty \leq 16$  км/сек, излучение играет главную роль. Было выяснено влияние выхода излучения на величины газодинамических параметров в ударном слое, на значения отходов ударной волны. Было показано, что распределение лучистых потоков вдоль поверхности сферы при различных значениях  $V_\infty$  и  $R$  аппроксимируется однопараметрическим семейством кривых с параметром, зависящим только от скорости набегающего потока, и что при удалении от критической точки радиационный поток уменьшается значительно быстрее конвективного. Представляет интерес провести аналогичные исследования для обтекания скругленного сегмента.

**1. Система уравнений движения излучающего газа и метод решения.** Будем рассматривать обтекание затупленного сферического сегмента гиперзвуковым потоком воздуха при наличии излучения в ударном слое. Вязкостью, теплопроводностью и диффузией пренебрегаем и считаем, что воздух находится в состоянии термодинамического равновесия.

Контур сферического сегмента зададим в виде [3]

$$F(r, \vartheta) = \left[ \frac{1}{R^2} (r^2 + l^2 + 2lr \cos \vartheta) \right]^{n/2} + \left[ \frac{1}{\beta} \operatorname{arctg} \frac{r \sin \vartheta}{r \cos \vartheta + l} \right]^m - 1 = 0 \quad (1.1)$$

где  $R$  — радиус сегмента,  $r$ ,  $\vartheta$  — сферические координаты в системе, смешенной на расстояние  $l$  от центра сегмента.

Здесь ограничимся одним видом контура, выбрав сегмент с полураствором, равным

$$\beta = \pi/6, \quad m = n = 70, \quad l = 0,65R$$

Положение ударной волны и система линий тока для этого сегмента при  $V_\infty = 15$  км/сек,  $R = 1$  м представлены на фиг. 1. Номера линий тока соответствуют значениям  $\vartheta$  на ударной волне ( $I - \vartheta = 0.1$ ,  $II - \vartheta = 0.3$ ,  $III - \vartheta = 0.5$ ,  $IV - \vartheta = 0.7$ ,  $V - \vartheta = 0.9$ ).

Система интегро-дифференциальных уравнений, описывающих течение в ударном слое, имеет вид

$$\begin{aligned} \nabla \rho V &= 0, & (\nabla V) V + \rho^{-1} \nabla p &= 0 \\ \rho V \nabla (h + \frac{1}{2} V^2) + Q &= 0, & h &= h(p, T), \quad \rho = \rho(p, T) \end{aligned} \quad (1.2)$$

Здесь  $Q$  — дивергенция интегрального по спектру лучистого потока. Функции  $h$ ,  $\rho$  вычисляются по аппроксимационным формулам А. Н. Крайко [4].

Модель излучающего воздуха заимствована из работы [1], в ней учитывается энергия, переносимая и в спектральных линиях и в непрерывном спектре частот. При этом в исследуемом диапазоне давлений и скоростей контур линий считался дисперсионным. Выражения для дивергенции лучистого потока  $Q$  и лучистых потоков на тело также приведены в работе [1].

Система уравнений (1.2) записывалась в сферической системе координат, переход к безразмерным переменным осуществлялся по формулам

$$U^* = V_\infty U, \quad V^* = V_\infty V, \quad p^* = \rho_\infty V_\infty^2 p, \quad T^* = T_\infty T, \quad r^* = Rr \quad (1.3)$$

Система интегро-дифференциальных уравнений (1.2) решалась методом итераций, в каждой итерации величина дивергенции лучистого потока считалась известной, и решалась задача об обтекании затупленного тела равновесным воздухом при наличии распределенного стока тепла.

При решении газодинамической задачи использовался метод Г. Ф. Теленина [5], успешно применявшийся во многих задачах, связанных со сверхзвуковым обтеканием затупленных тел.

Как обычно, за независимую переменную выбираем

$$\xi = (r_s - r_b)(r_s - r_b)^{-1} \quad (1.4)$$

где  $r_s$  — контур ударной волны,  $r_b$  — контур тела. Интегрирование велось от ударной волны к телу  $1 \geq \xi \geq 0$ .

Все газодинамические параметры и контур ударной волны аппроксимировались полиномами Лагранжа по пятилучевой схеме. Лучи располагались в узлах Чебышева  $\vartheta_{\max} = \vartheta_4 = 1,141$ . Границными условиями для газодинамических переменных служат условия Гюгонио на ударной волне и условие непроницаемости на поверхности тела.

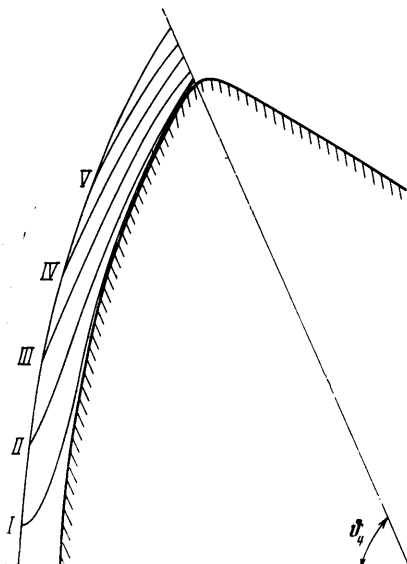
В работе [2] был подробно обсужден вопрос о граничных условиях для излучения и о применимости представления плоского слоя.

В случае обтекания сферы толщина излучающего слоя оказывалась равной вычисленному отходу ударной волны  $\varepsilon$ , поскольку в этом случае радиус нормален к контуру сферы.

Для сферического сегмента при начале координат, смещенном на расстояние  $l$  от центра сегмента, толщина излучающего слоя равна отрезку нормали к контуру

$$L = [r_b^2(\vartheta_b) + r_s^2(\vartheta_s) - 2r_s(\vartheta_s)r_b(\vartheta_b) \cos(\vartheta_s - \vartheta_b)]^{1/2} \quad (1.5)$$

Чтобы определить дивергенцию лучистого потока, следовало бы брать значения газодинамических параметров на нормалах  $L$ , в то время как решение газодинамической задачи непосредственно дает значения этих параметров на лучах  $\vartheta = \vartheta_i$ . Именно эти значения брались во всех расчетах.



Фиг. 1

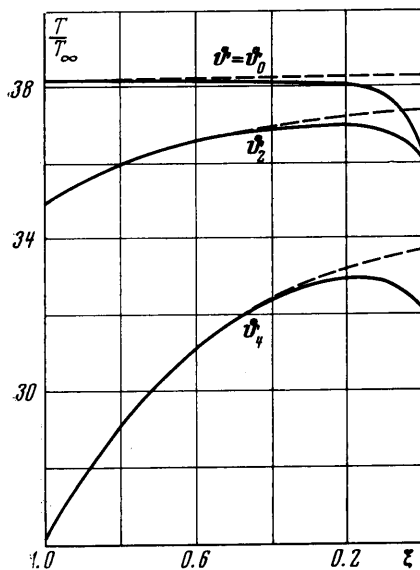
так, так как максимальное отличие полярного угла  $\vartheta$ , на нормали от  $\vartheta_0$  не превышало 4 %.

Итерационная схема была построена так же, как и для случая обтекания сферы, т. е. вначале при заданном распределении  $Q(\xi, \vartheta)$  производился подбор положения ударной волны так, чтобы выполнялось граничное условие на теле, и при этом строились поля газодинамических параметров в ударном слое газа, а затем вычислялись новые значения  $Q(\xi, \vartheta)$  и снова подбиралось новое положение ударной волны.

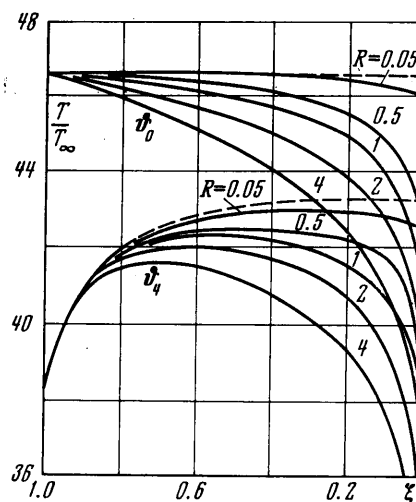
**2. Влияние излучения на течение в ударном слое.** Были проведены расчеты для обтекания сферического сегмента радиуса  $0 \leq R \leq 4$  м потоком воздуха со скоростью  $10 \leq V_\infty \leq 16$  км/сек. Температура перед ударной волной в большинстве расчетов считалась равной  $T_\infty = 250^\circ$  и  $p_\infty = 10^{-4}$  атм во всех расчетах.

Основные явления, которые наблюдались при обтекании сферы гиперзвуковым потоком воздуха, имеют место и при обтекании сегмента. Так же как и в случае обтекания сферы, излучение практически не оказывает влияния на поля давлений и скоростей и слабо влияет на распределение компоненты скорости  $v$ , причем наибольшее расхождение между случаями течения с излучением и без излучения имеет место, как и при обтекании сферы, у поверхности тела.

Наиболее сильно выход излучения из ударного слоя влияет на распределение температур. На фиг. 2 представлено распределение температур (значения  $T$  отнесены к  $T_\infty = 250^\circ$ ) при  $V_\infty = 9,85$  км/сек,  $R = 1$  м с учетом (сплошные кривые) и без учета (пунктир) излучения на лучах ( $\vartheta_0 = 0$ ,  $\vartheta_2 = 0.747$ ,  $\vartheta_4 = 1.141$ ). Видно, что даже при такой сравнительно небольшой скорости излучение влияет на поле температур, но это влияние ограничено окрестностью поверхности тела.



Фиг. 2



Фиг. 3

При увеличении скорости полета излучение начинает оказывать все более заметное влияние на распределение температур. Это связано с тем, что с ростом скорости увеличивается температура в ударном слое и, следовательно, увеличивается и выход излучения. Увеличение радиуса сегмента также ведет к увеличению радиационного охлаждения, так как оно приводит к увеличению вклада от переноса тепла излучением.

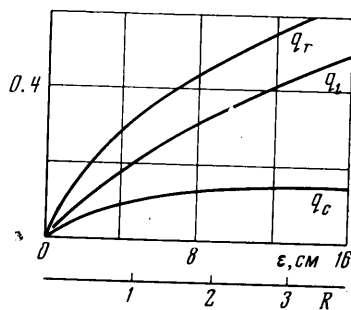
На фиг. 3 представлено распределение температур на нулевом  $\vartheta_0 = 0$  и четвертом  $\vartheta_4 = 1.141$  лучах при различных радиусах сегмента для  $V_\infty = 12$  км/сек. Номограммы соответствуют радиусу сегмента, пунктирные кривые — распределению температуры при течении без учета излучения (последнее не зависит от радиуса).

Сравнение кривых фиг. 3 позволяет выяснить влияние радиуса сегмента. Так, при  $R = 4$  м выход излучения начинает сказываться на значениях температуры около ударной волны. Сравнение кривых фиг. 2 и фиг. 3 иллюстрирует влияние скорости обтекания.

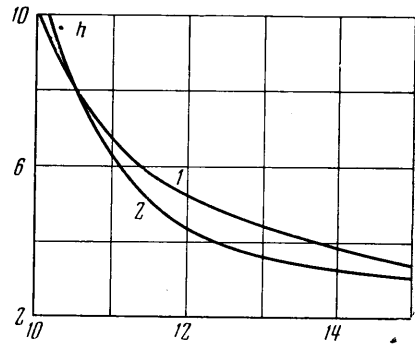
Уменьшение температуры в ударном слое приводит к увеличению плотности, в результате чего толщина ударного слоя уменьшается. Ударная волна при наличии излучения приближается к телу практически без изменения формы, поэтому значения всех газодинамических параметров на волне не зависят от радиуса сегмента. На фиг. 3 кривые семейства  $\Phi = 0, \Phi = 1.141$  выходят из одной точки.

**3. Излучение ударного слоя.** В работе [2] было показано, что пренебрежение радиационным охлаждением при высоких скоростях обтекания ведет к существенному завышению радиационного потока на тело  $q_r$ .

Как уже говорилось, при расчете дивергенции лучистого потока использовалась модель излучающего воздуха, описанная в работе [1], там же были приведены формулы для расчета  $q_r$ , толщина излучающего слоя вычислялась по формуле (1.5).



Фиг. 4



Фиг. 5

В [6, 7] было показано, что в диапазоне температур и давлений, представляющих интерес в этой работе, перенос излучения в линиях существен. Кроме того, было указано, что суммарный лучистый поток можно представить в виде

$$q_r = q_c + q_l \quad (3.1)$$

где  $q_c$  — поток лучистой энергии за счет излучения в непрерывном спектре частот, а  $q_l = \sum q_{li}$  — суммарный поток энергии за счет излучения в линиях, причем вклад от каждой линии учитывается отдельно.

На фиг. 4 приведена зависимость лучистых потоков  $q_{r0}$  квт/сек<sup>2</sup> от толщины ударного слоя. Вторая шкала на оси абсцисс дает радиус сферического сегмента в метрах. С увеличением радиуса поток энергии в критической точке возрастает, причем возрастание происходит главным образом за счет излучения в линиях, тогда как вклад от непрерывного спектра практически не меняется. Это обстоятельство соглашается с данными теоретической спектроскопии о том, что при больших оптических толщинах энергия от изолированной линии с ударным уширением пропорциональна корню квадратному из толщины слоя и стремится к постоянной величине для непрерывного спектра (см., например, [8]).

В работе [2] было обнаружено, что отношение лучистого потока на тело к значению лучистого потока в критической точке хорошо описывается универсальной зависимостью вида

$$q_r / q_{r0} = \cos^n \varphi \quad (3.2)$$

Эта зависимость с высокой степенью точности выполняется и для сферического сегмента, если положить

$$\varphi = \arctg \frac{r_b \sin \theta}{r_b \cos \theta + l} \quad (3.3)$$

Так же как и в случае обтекания сферы, показатель  $n$  в соотношении (3.2) не зависит от  $R$  и представляет собой функцию только скорости набегающего потока. На фиг. 5 приведена зависимость  $n$  от  $V_\infty$  для сферы (кривая 1) и для сегмента (кривая 2).

Поскольку радиационный поток спадает быстрее конвективного, распределение которого удовлетворительно описывается формулой [9]

$$q_c / q_{c0} = \cos^2 \theta \quad (3.4)$$

для сферического сегмента сохранится важный вывод, сделанный в работе [2], а именно область поверхности, в которой радиационный нагрев превышает конвективный, сосредоточена в передней части обтекаемого тела.

**4. Влияние учета излучения в окрестности скругления на распределение газодинамических параметров в ударном слое.** Запишем уравнение энергии в координатах  $\Psi, X_1$

$$\frac{\rho u_1}{1 + (X_2/R_1)} \frac{\partial}{\partial X_1} \left( h + \frac{u_1^2 + u_2^2}{2} \right) + Q = 0 \quad (4.1)$$

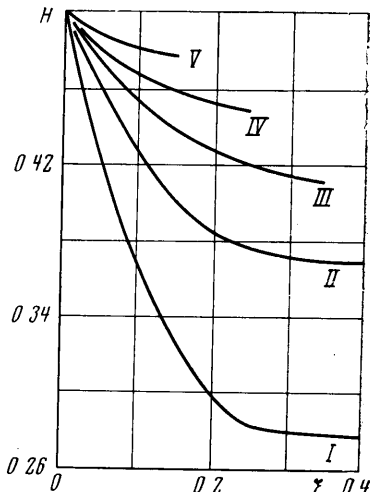
Здесь  $\Psi$  — функция тока,  $X_1$  отсчитывается вдоль поверхности тела,  $X_2$  — нормально к телу,  $R_1$  — радиус кривизны тела,  $u_1, u_2$  — проекции скорости на  $X_1, X_2$ ,  $h$  — энталпия.

Если излучения нет, то полная энталпия  $H = h + 1/2(u_1^2 + u_2^2)$  вдоль линии тока сохраняется. Так как при переходе через скачок энталпия сохраняется, а набегающий поток имеет постоянную энталпию, то при отсутствии излучения полная энталпия на всех линиях тока одинакова. Учет излучения приводит к появлению процесса, вызывающего перераспределение энергии между различными линиями тока. Уравнение (4.1) показывает, что, если  $Q \rightarrow 0$ , полная энталпия будет сохранять постоянное значение вдоль линии тока, однако это значение  $H$  будет отличаться от полной энталпии набегающего потока, если частица прошла область, где излучение значительно. В областях, заполненных такими линиями тока, течение будет отличаться от соответствующего течения без учета излучения не только там, где лучистые потоки значительны, но и там, где они малы.

Фиг. 2 и фиг. 3 показывают, что отличие в распределении температур особенно велико у поверхности тела. Именно прилегающие к поверхности тела линии тока проходят через зону наибольшего радиационного охлаждения. По мере удаления от критической точки и от поверхности тела полная энталпия будет стремиться к значению энталпии набегающего потока.

На фиг. 6 приведено распределение полной энталпии  $H$ , отнесенной к  $V_\infty^2$ , вдоль различных линий тока (номера кривых соответствуют номерам линий тока на фиг. 1, по оси абсцисс отложено расстояние, пройденное частицей от ударной волны). Так как изменение энталпии связано с радиационным переносом тепла, по фиг. 6 можно судить о роли этого процесса в различных областях ударного слоя.

Эффективность процесса лучистого переноса тепла вдоль линии тока описывается величиной  $Q(\rho u_1)^{-1}(1 + X_2/R_1)$  и зависит, таким образом, не только от величины дивергенции лучистого потока, но и от скорости частицы. Вблизи оси симметрии, где температуры велики, скорости  $u_1$  малы. Поэтому изменения, связанные с радиационными процессами, значительны, так что и на начальных участках тех линий тока ( $I, II, III$ ), которые не слишком удалены от оси симметрии, имеем резкое падение энталпии. В областях, удаленных от оси симметрии, скорости



Фиг. 6

частиц велики, дивергенция лучистого потока мала, поэтому по мере движения вдоль линии тока частица перестает терять энергию. При этом эффективность радиационного переноса тепла падает в гораздо большей степени, чем величина дивергенции лучистого потока.

Например, энталпия частицы, проходящей вдоль линии тока  $III$  от  $s = 0.2$  до  $s = 0.3$ , меняется на 4%, тогда как дивергенция лучистого потока в соответствующих точках отличается на 20% и на 20% возрастает скорость в этих точках ударного слоя. Таким образом, частица выносится из тех областей, где радиационные процессы существенны, в более холодные области раньше, чем ее энергия успеет претерпеть значительные изменения. Это явление будем называть радиационным замораживанием.

Как уже упоминалось в п. 1, при расчете тепловых потоков и дивергенции лучистого потока принималась концепция плоского слоя, причем толщина слоя вычислялась по формуле (1.6). В окрестности скругления происходило резкое расширение и охлаждение газа. Будем пренебречь вкладом в баланс энергии излучением, поступающим от холодных областей, расположенных вниз по потоку от краиного луча ( $\theta = \theta_4 = 1.141$ ). Это означает, что на последнем луче рассматривается не излучение от плоского слоя с заданным распределением температур  $T(\xi)$ , а излучение от полуслоя с тем же распределением температур. При расчетах такое рассмотрение сводится к тому, что вычисленные на последнем луче радиационный поток и дивергенция лучистого потока от слоя толщины (1.6) с заданным распределением температур учитываются с коэффициентом  $1/2$ .

Вообще говоря, значение  $1/2$  этого коэффициента в известной степени произвольно. Видимо, истинный вклад излучения на последнем луче больше вклада излучения от полуслоя и меньше вклада от полного слоя. Были проведены расчеты  $V_\infty = 12 \text{ км/сек}$ ,  $V_\infty = 15 \text{ км/сек}$ , в которых учитывалось излучение от полного слоя для последнего луча. В обоих случаях поля газодинамических параметров практически не менялись, в частности изменение температуры нигде не превышало 0,5%. Более того, полное пренебрежение излучением на последнем луче  $Q_4 = 0$  не привело к существенному изменению параметров течения.

Приведенные выше расчеты показывают, что нет необходимости точно учитывать геометрию излучающего объема в окрестности скругления, так как поля газодинамических параметров из-за радиационного охлаждения определяются процессами, происходящими вблизи оси симметрии.

Поступило 24 V 1971

#### ЛИТЕРАТУРА

- Биберман Л. М., Воробьев В. С., Лагарьков А. Н., Стулов В. П., Теленин Т. Ф., Шапиро Е. Г., Якубов П. Т. Течение воздуха за фронтом сильной ударной волны с учетом неравновесной ионизации и излучения. Изв. АН СССР, МЖГ, 1967, № 6.
- Стулов В. П., Шапиро Е. Г. Излучение ударного слоя при гиперзвуковом обтекании затупленных тел воздухом. Изв. АН СССР, МЖГ, 1970, № 1.
- Лебедев М. Г., Миносцев В. В., Теленин Г. Ф., Тиняков Г. П. Приближенный метод учета влияния реальности газа при гиперзвуковом обтекании сегментальных тел. Изв. АН СССР, МЖГ, 1969, № 2.
- Крайко А. Н. Аналитическое представление термодинамических функций воздуха. Инж. ж., 1964, т. 4, вып. 3.
- Стулов В. П., Теленин Г. Ф. Неравновесное обтекание сферы сверхзвуковым потоком воздуха. Изв. АН СССР, МЖГ, 1965, № 1.
- Биберман Л. М., Воробьев В. С., Норман Г. Е. Энергия, излучаемая равновесной плазмой в спектральных линиях. I. Оптика и спектроскопия, 1963, т. 14, № 3.
- Воробьев В. С., Норман Г. Е. Энергия, излучаемая равновесной плазмой в спектральных линиях. II. Оптика и спектроскопия, 1964, т. 17, № 2.
- Пенин С. С. Количественная молекулярная спектроскопия и излучательная способность газов. М., Изд-во иностр. лит., 1963.
- Мурзин И. Н. Ламинарный пограничный слой на сфере в гиперзвуковом потоке равновесного диссоциирующего воздуха. Изв. АН СССР, МЖГ, 1966, № 2.